

при данных x_0 и c . Так, например, для направленного ответвителя, синтезированного в [5], значение $\int_{k_1}^{k_2} R/Tdk$ составляет $\sim 1/5$ значения оценки в правой части (4). Это, по-видимому, близко к наивысшему «коэффициенту» использования оценки (4) для направленных ответвителей.

Подводя итог проведенному исследованию в целом, отметим, что уже первые, сделанные в данной работе оценки, позволяют получить априорные представления о реализуемости требуемых полосовых свойств синтезируемых систем с учетом ограничений на их параметры.

СПИСОК ЛИТЕРАТУРЫ

- [1] Фано Р. Теоретические ограничения полосы согласования произвольных импедансов. М.: Сов. радио, 1965. [2] Тихонравов А. В. ЖВМ и МФ, 1982, 22, № 6, с. 1421. [3] Рейзенкинд Я. А. Автореф. канд. дис. Саратов, 1980. [4] Тихонравов А. В. Вестн. Моск. ун-та. Физ. Астрон., 1983, 24, № 3, с. 8. [5] Ковенский С. Ю.; Тихонравов А. В. Радиотехн. и электроника, 1981, 26, № 8, с. 1599.

Поступила в редакцию
15.04.83

ВЕСТН. МОСК. УН-ТА. СЕР. 3. ФИЗИКА. АСТРОНОМИЯ, 1984, т. 25, № 1

УДК 518:517.9:53

О РЕШЕНИИ ДВУМЕРНОЙ ЗАДАЧИ МТЗ С ПОМОЩЬЮ РЕГУЛЯРИЗИРУЮЩИХ ПО ТИХОНОВУ АЛГОРИТМОВ

В. Б. Гласко, Н. И. Ольховская

(кафедра математики)

1. Предложенный в работах [1—2] метод МТЗ широко используется для изучения глубинных структур земной коры. Развитая в [3—5] теория регуляризации для решения некорректных задач позволяет автоматизировать процесс прогнозирования структур с помощью ЭВМ. В [6] разработан экономичный регуляризирующий алгоритм для прогнозирования геоэлектрического разреза в рамках одномерной модели структуры. Вместе с тем все более актуальной становится задача об изучении структур с произвольным распределением проводимости: $\sigma = \sigma(M)$, $M \in E^n$, $n = 1, 2, 3$. Расчету электромагнитного поля в таких структурах при заданной проводимости посвящены, в частности, работы [7, 8]. В работе [9] доказана единственность решения обратной задачи (задачи МТЗ) при произвольной $\sigma(M)$.

В настоящей работе принята двумерная модель, в которой проводимость хорошо аппроксимируется гладкими функциями. Показано, что развитый в [6] алгоритм переносится на этот случай. Сформулирована задача МТЗ для специального случая локального распределения проводимости: $\sigma(x, z) = \sigma_1(x)\sigma_0(z)$ — и с помощью регуляризирующего алгоритма проведен математический эксперимент по определению горизонтальной неоднородности геоэлектрического разреза.

2. Пусть достаточно гладкая функция $\sigma = \sigma(x, z)$, для простоты ченная по x , определена в прямоугольнике $\Pi: |x| \leq L$, $0 < z \leq h$, и в случае локальной неоднородности удовлетворяет условию

$$\lim_{|x| \rightarrow L} \sigma(x, z) = \sigma_0(z),$$

где $\sigma_0(z)$ — известная функция. Рассмотрим H -поляризованное, гармоническое (частоты ω) электромагнитное поле, амплитуды которого $E = \{E_x, 0, E_z\}$, $H = \{0, H_y, 0\}$. Предполагаем для определенности, что «подстилающее» пространство — изолятор. Согласно [7] и с учетом симметрии по x функции $v(x, z) = H_y(x, z)/H_y(x, 0)$, где $H_y(x, 0) = \text{const}$, определяется условиями следующей задачи:

$$\begin{cases} \mathcal{L}(\sigma, v) \equiv \frac{\partial}{\partial x} \left(\frac{1}{\sigma} \frac{\partial v}{\partial x} \right) + \frac{\partial}{\partial z} \left(\frac{1}{\sigma} \frac{\partial v}{\partial z} \right) + i\omega v = 0, & (x, z) \in \Pi, \\ \left. \frac{\partial v}{\partial x} \right|_{x=0} = 0, \quad v|_{z=0} = 1, \quad v|_{x=L} = v_0(z), \quad \left. \frac{\partial v}{\partial z} \right|_{z=h} = 0, \end{cases} \quad (1)$$

где $v_0(z)$ соответствует электромагнитному полю в одномерной среде с проводимостью $\sigma_0(z)$. Решение такой задачи получается с высокой точностью на ЭВМ с помощью разностной схемы метода переменных направлений [10], и, таким образом, алгоритмически определена любая характеристика поля на поверхности $z=0$. Согласно [9], в качестве характеристики для однозначного определения $\sigma(x, z)$ может быть выбран импеданс $z = \frac{E_x(x, 0, \omega)}{H_y(x, 0, \omega)}$, и тогда определен оператор

$A\sigma \equiv z(x, 0, \omega) = \frac{1}{\sigma} \frac{\partial v}{\partial z}(x, 0, \omega)$. Пусть, с другой стороны, $\tilde{u} = \tilde{z}(x, 0, \omega)$ — наблюдаемый импеданс. Введем аналогичную выбранной в [6] норму уклонения z от \tilde{z} ; в качестве стабилизатора выберем норму [11]

$$\Omega(\sigma) = \|\sigma\|_{W_2^2}^2 = \int_{\Pi} \left(\sum_{p+q=0}^2 \frac{\partial^{p+q}\sigma}{\partial x^p \partial z^q} \right)^2 dx dz.$$

Тогда $\sigma = \sigma(x, z)$ определяется задачей минимизации сглаживающего функционала Тихонова [3]:

$$\inf \{ \|A\sigma - \tilde{u}\|_V^2 + \alpha \Omega(\sigma) \}, \quad (2)$$

где α согласуется с погрешностью наблюдений δ по условию: $\|A\sigma^\alpha - \tilde{u}\|_V^2 = \delta$, если σ^α — экстремаль функционала (2). Это условие используется для прерывания итерационного процесса спуска по параметру [6] на последовательности $\{\alpha_S\} \rightarrow 0$. Именно, пусть $\sigma_{k+1} = R_\alpha(\sigma_k)$ — какой-либо итерационной процесс минимизации (2) при любом α и начальном приближении σ_0^α ; $\sigma_{k+1} \rightarrow \sigma^\alpha$ при $k \rightarrow \infty$; тогда $\sigma_0^{\alpha_{S+1}} = \sigma^\alpha$, причём σ^α при достаточно большом α_0 есть экстремаль стабилизатора.

Этот алгоритм при конкретном выборе $R_\alpha(\sigma)$ использован нами в следующей задаче.

3. Пусть по-прежнему горизонтальная неоднородность имеет локальный характер и может быть аппроксимирована зависимостью $\sigma(x, z) = \sigma_1(x)\sigma_0(z)$, где $\sigma_0(z)$ определяется, как в п. 1. Величину $\sigma_0(z)$ будем считать определенной по наблюдениям вне интервала $|x| < L$ с помощью, например, алгоритма [6]. Тогда задача сводится к поиску проводимости $\sigma_1(x)$, которую будем считать близкой к некоторой гладкой функции.

При любой заданной $\sigma_1(x)$ электромагнитное поле в Π определяется прежней краевой задачей (1). Для определения наряду с полем проводимости $\sigma_1(x)$ зададим в качестве дополнительной информации

величину $u \equiv \psi(\omega) = \int_0^L z(x, 0, \omega) dx$, и пусть $\tilde{\psi}(\omega)$ — приближение ψ ,

извлеченное из измерений: $\rho_U(\psi, \tilde{\psi}) \leq \delta$. Обозначим через $A\sigma_1 \equiv \psi[\omega, \sigma_1]$ величину, получаемую с помощью расчета электромагнитного поля при любой заданной $\sigma_1 = \sigma_1(x)$. Рассмотрим $z(x, 0, \omega) \equiv \frac{v'_z(x, 0, \omega)}{\sigma(x, 0)}$. Допустим, что $\sigma_1(x)$ — гладкая функция. Тогда искомая характеристика разреза может быть найдена решением следующей вариационной задачи:

$$\inf F_\alpha(\sigma_1) \equiv \inf \{ \|A\sigma_1 - \tilde{\psi}\|_U^2 + \alpha \Omega_1(\sigma_1) \}; \|A\sigma_1^\alpha - \tilde{\psi}\|_U^2 = \delta^2, \quad (3)$$

где

$$\Omega_1(\sigma_1) = \int_0^L (\sigma_1'^2(x) + \sigma_1^2(x)) dx \equiv \|\sigma_1\|_{W_2^1}^2.$$

В качестве итерационного процесса $R_\alpha(\sigma_1)$ для минимизации (3) при каждом α на сетке $\{\alpha_s\}$ выберем метод Гаусса—Ньютона [12]:

$$F_{\alpha_s}(\sigma_1) = \|A(\sigma_{1_k}) + A'_{\sigma_1}(\sigma_{1_k}) \cdot (\sigma_1 - \sigma_{1_k}) - \tilde{\psi}\|_U^2 + \alpha_s \Omega_1(\sigma_1).$$

Оказывается, как и в [6], дифференциал Фреше для $A\sigma_1$ имеет явное выражение:

$$A'_{\sigma_1}(\sigma_{1_k}) \cdot (\sigma_1 - \sigma_{1_k}) = \int_0^L \kappa_k(\xi, \omega) \cdot (\sigma_1(\xi) - \sigma_{1_k}(\xi)) d\xi, \quad (4)$$

где $\kappa_k(\xi, \omega) = \int_0^h \frac{\sigma_0(\eta)}{\sigma_k^2(\xi)} (\nabla v_k, \nabla w_k) d\eta$, v_k — решение задачи (1) при

$\sigma_k = \sigma_{1_k}(x) \sigma_0(z)$, w_k — решение той же задачи с заменой одного из граничных условий: $w_k|_{x=L} = 0$.

В самом деле, пусть $\zeta(x, z)$ — вариация $\sigma(x, z)$ в окрестности $\hat{\sigma}(x, z) : \sigma = \hat{\sigma} + \zeta$, а $G(x, z, \xi, \eta)$ — функция Грина для однородной краевой задачи, отвечающей (1). Тогда, вводя соответствующую вариацию поля, нетрудно убедиться, что

$$A\sigma \equiv \int_0^L \frac{\hat{v}'_z(x, 0, \omega)}{\hat{\sigma}(x, 0)} dx - \int_0^L \frac{\hat{v}'_z(x, 0, \omega)}{\hat{\sigma}^2(x, 0)} \zeta(x, 0) dx - \\ - \int_{\Pi} \left(\int_0^L \frac{\partial G}{\partial z}(x, 0, \xi, \eta) \frac{1}{\hat{\sigma}(x, 0)} dx \right) \left\{ \frac{\partial}{\partial \xi} \left(\frac{\zeta}{\hat{\sigma}^2} \frac{\partial \hat{u}}{\partial \xi} \right) + \frac{\partial}{\partial \eta} \left(\frac{\zeta}{\hat{\sigma}^2} \frac{\partial \hat{u}}{\partial \eta} \right) \right\} d\xi d\eta.$$

Пользуясь определением функции Грина и функции w , можно заметить, что

$$w(\xi, \eta) = \int_{\Pi} [G\mathcal{L}(w) - w\mathcal{L}(G)] dx dz = \int_0^L \frac{\partial G}{\partial z}(x, 0, \xi, \eta) \frac{1}{\hat{\sigma}(x, 0)} dx.$$

Тогда интегрирование по частям в предшествующем выражении приводит к формуле $A\sigma = A\hat{\sigma} + \int_{\Pi} \frac{1}{\hat{\sigma}^2} (\nabla w, \nabla \hat{u}) \zeta(\xi, \eta) d\xi d\eta$. Отсюда, полагая $\zeta(x, z) = (\sigma_1(x) - \sigma_{1_k}(x)) \sigma_0(z)$, получаем приведенное выше представление дифференциала Фреше.

Теперь минимизация функционала (3) при каждом $\alpha = \alpha_s$ осуществляется с помощью уравнения Эйлера, для которого формулируются естественные дополнительные условия: $\sigma_1'(0) = \sigma_1'(L) = 0$ [12] и которое с помощью разностной аппроксимации сводится к системе линейных алгебраических уравнений, решаемой по стандартной программе для ЭВМ.

4. В проведенном математическом эксперименте по определению $\sigma_1(x)$ с помощью описанного в п. 3 алгоритма была выбрана трехслойная (по вертикали) модель среды, для которой $\sigma_0(z)$ соответствует работе [6].

«Наблюдения» импеданса соответствуют суточному диапазону частот: $\omega_k = 0,628 \cdot 10^{-3} \cdot 2^k$, $k = 4, 5, \dots, 11$. В качестве начального прибли-

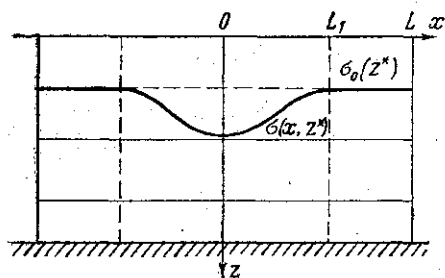


Рис. 1

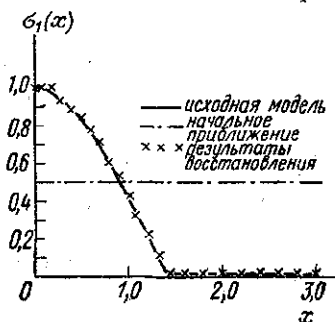


Рис. 2

жения к $\sigma_1(x)$ была выбрана константа, равная 1 и отклоняющаяся от решения на величину до 50%.

Для расчета прямых эффектов (1) вертикальная граница $x=L$ выбрана «далекой» от области горизонтальной неоднородности (на расстоянии двух длин волн для нее). Сетка для разностной аппроксимации уравнения размером 23×10 неравномерна по x , при этом шаг возрастает к границе. Вариация шага, выбираемая с учетом размеров области и длины волны, а также требования квазилинейности поля в пределах шага, соответствует работе [6].

На рис. 1 представлена выбранная модель, на рис. 2 — найденная зависимость $\sigma_1(x)$ в сравнении с точной зависимостью и начальным приближением.

Результат свидетельствует об эффективности развиваемого алгоритма. Заметим, что рассмотренные постановки задачи и алгоритмы допускают распространение на случай горизонтально-однородных сред с кусочно-гладкими характеристиками [6].

В заключение авторы выражают благодарность А. Н. Тихонову и А. Г. Свешникову за внимание к работе и полезные обсуждения.

СПИСОК ЛИТЕРАТУРЫ

- [1] Тихонов А. Н. ДАН СССР, 1950, 73, № 2, с. 295. [2] Cagniard L. Geophysics, 1953, 18, N 3, p. 605. [3] Тихонов А. Н., Арсенин В. Я. Методы решения некорректных задач. М.: Наука, 1979. [4] Лаврентьев М. М., Романов В. Г., Шишатский С. П. Некорректные задачи математической физики и анализа. М.: Наука, 1980. [5] Иванов В. К., Васин В. В., Танана В. П. Теория линейных некорректных задач и ее приложения. М.: Наука, 1978. [6] Гласко В. Б., Кулик Н. И., Тихонов А. Н. ЖВМ и МФ, 1972, № 1, с. 139. [7] Дмитриев В. И., Барашков И. С. В кн.: Численные методы в геофизических исследованиях. М.: НИВЦ МГУ, 1979, с. 38. [8] Дмитриев В. И., Мерщикова Н. А. В кн.: Численные методы в геофизических исследованиях. М.: НИВЦ МГУ, 1979, с. 3. [9] Гусаров А. Л. В кн.: Математические модели задач геофизики. М.: НИВЦ

УДК 535.241.13:534

СКАНИРОВАНИЕ СВЕТОВЫХ ПУЧКОВ В КРИСТАЛЛЕ ПАРАТЕЛЛУРИТА

З. Т. Азаматов, И. Б. Беликов, В. Б. Волошинов,
Ф. Д. Маматджанов, В. Н. Парыгин

(кафедра физики колебаний)

Среди известных в настоящее время материалов кристаллы парателлурифта отличаются высоким акустооптическим качеством [1—3]. Это делает кристаллы TeO_2 весьма перспективными для применения в устройствах управления оптическим излучением. Данная работа посвящена экспериментальному исследованию особенностей акустооптического взаимодействия в парателлурифте. Для исследований выбрана геометрия рассеяния, когда сдвиговая акустическая волна распространяется вдоль направления $[110]$ кристалла со смещением по направлению $[\bar{1}\bar{1}0]$, а плоскость акустооптического взаимодействия проходит через оптическую ось.

Акустооптическая ячейка представляла собой образец TeO_2 с размерами $1,2 \times 0,5 \times 0,75$ см вдоль направлений $[110]$, $[\bar{1}\bar{1}0]$ и $[001]$ соответственно. К кристаллу TeO_2 был прикреплен пьезоэлектрический преобразователь из ниобата лития X-среза. Технология изготовления преобразователя включала в себя напыление на звукопровод электрода из серебра, нанесение на парателлурифт и ниобат лития связующих слоев из индия и вакуумную сварку заготовки преобразователя со звукопроводом. Заготовка преобразователя затем шлифовалась до толщины 74 мкм, соответствующей собственной частоте $f_n = 32$ МГц, после чего на преобразователь напылялся верхний управляющий электрод. Общая толщина склейки не превышала 1,5 мкм. Геометрические размеры верхнего электрода составляли 0,7 см вдоль направления распространения света $[001]$ и 0,2 см в перпендикулярном направлении.

Пьезопреобразователь возбуждал в звукопроводе акустическую волну сложной структуры. Качество сварки и параметры акустического столба оценивались оптическими методами. Диаметр светового луча при этом составлял 0,1 см. Эксперименты, проводившиеся при нескольких частотах ультразвука, показали, что расходимость акустического пучка в плоскости, перпендикулярной направлению $[001]$, значительно превышала дифракционную. Это объясняется акустической анизотропией кристалла TeO_2 и качеством склейки преобразователя со звукопроводом. Однородность ультразвукового столба вдоль направления $[001]$ оценивалась по диаграммам направленности. Значения эффективной длины взаимодействия света и ультразвука лежали в пределах $0,5 \div 0,7$ см, т. е. отличались от размера верхнего электрода преобразователя (0,7 см) не более чем на 30%. Однородность ультразвуко-